

А. М. Г у с ь к о в, В. В. З а х а р о в

**ДИНАМИКА ВИБРАЦИОННОГО СВЕРЛЕНИЯ
УСТРОЙСТВОМ С ЭЛЕКТРОМАГНИТНЫМ
ВИБРОВЗБУДИТЕЛЕМ**

Рассмотрена динамика устройства с электромагнитным вибровозбудителем для вибрационного сверления. Разработана нелинейная математическая модель, состоящая из трех групп уравнений: нелинейных дифференциальных уравнений электромеханических колебаний; двухпараметрического закона резания; нелинейных алгебраических уравнений образования новых поверхностей в процессе резания, включающих в себя запаздывание. Для случая отсутствия резания методом многомасштабных разложений получено приближенное аналитическое решение. Рассмотрена динамика устройства в процессе резания. Найдены области регулярного прерывистого резания.

Различные модели для исследования колебаний при обработке резанием приведены в обзорной статье [1]. В работе [2] рассмотрены эффекты самовозбуждения и взаимного влияния двух резцов при токарной обработке цилиндрических поверхностей. В работе [3] исследована динамика течения длинных цилиндрических деталей многолезвовой двухрядной головкой. Рассмотрены вибрационные автоколебательные режимы, при которых одни резцы имеют прерывистое резание, а другие — непрерывное. В работе [4] рассмотрена динамика электромеханической системы на примере балки, на которую действует электромагнитный вибровозбудитель. В работе [5] для исследования динамики нелинейной системы использован метод многомасштабных разложений.

В настоящей работе рассматривается расчетная схема устройства с электромагнитным вибровозбудителем для вибрационного сверления (рис. 1). Для возбуждения колебаний в системе используется двухзазорный электромагнитный вибровозбудитель переменного тока, состоящий из двух электромагнитов с П-образными сердечниками 1 и двух жестко связанных между собой якорей 2 из ферромагнитного материала. Якоря крепятся на балках 3 постоянного сечения, которые связаны с дополнительной массой 4. Связь инструмента 5 с дополнительной массой моделируется в виде пружины с линейной жесткостью и демпфера.

Принцип работы устройства заключается в следующем. На обмотки электромагнита подается синусоидальное напряжение. В зазорах

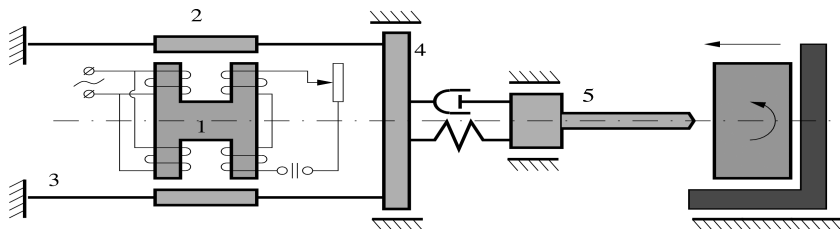


Рис. 1. Расчетная схема устройства для вибрационного сверления

между электромагнитами и якорями возникает переменное магнитное поле, взаимодействующее с материалом якорей. Действующие переменные силы возбуждают колебания якорей и связанных с ними балок. Изгибные колебания балок приводят к переменным во времени продольным перемещениям дополнительной массы, которые, в свою очередь, через пружину и демпфер передаются инструменту.

Математическая модель. Математическая модель электродинамического вибратора и инструмента при сверлении состоит из:

- системы нелинейных дифференциальных уравнений электромеханических колебаний;
- двухпараметрического закона резания;
- системы нелинейных алгебраических уравнений образования новых поверхностей в процессе резания. Уравнения содержат неизвестные функции с запаздывающим аргументом.

Уравнения электромеханических колебаний. Рассматриваемая система является электромеханической. Динамика электромеханических систем описывается уравнениями Лагранжа–Максвелла [6, 7]. Для систем, в которых токи замкнуты, эти уравнения можно записать в виде

$$\begin{cases} \dot{\Phi}_r + \sum_{s=1}^m R_{rs} \frac{\partial W}{\partial \Phi_s} = E_r, & r = 1, \dots, m; \\ \frac{d}{dt} \frac{\partial T}{\partial \dot{q}_k} - \frac{\partial T}{\partial q_k} + \frac{\partial \Pi}{\partial q_k} = Q_k + \frac{\partial W}{\partial q_k}, & k = 1, \dots, n. \end{cases}$$

Здесь Φ_r — магнитные потоки; R_{rs} — активные сопротивления в контуре; W — энергия магнитного поля системы; E_r — сумма сторонних ЭДС в контуре r ; m — число замкнутых неразветвленных контуров; q_k — обобщенная координата системы; Π , T — потенциальная и кинетическая энергии системы; Q_k — непотенциальные силы; n — число степеней свободы системы. Первая группа уравнений описывает динамику электромагнитной составляющей системы, а вторая — механической.

На рис. 2 приведена расчетная схема вибровозбудителя. Предположим, что магнитное сопротивление общей части двух П-образных сердечников мало по сравнению с суммой магнитных сопротивлений

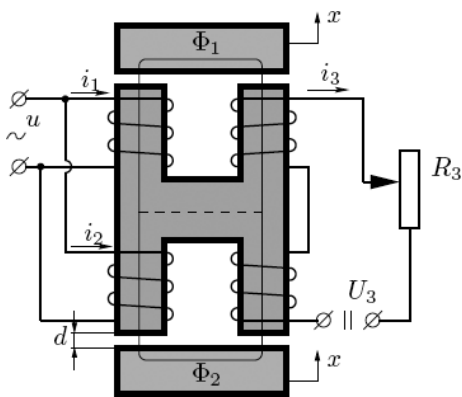


Рис. 2. Расчетная схема вибровозбудителя

воздушных промежутков и остальных участков сердечников. Это позволяет считать, что силовые линии замыкаются так, как показано на рис. 2, и не учитывать часть потока (штриховая прямая, см. рис. 2).

Предположим, что электромагниты одинаковые, размеры сечения сердечника велики по сравнению с расстоянием между якорем и сердечником, но малы по сравнению с длиной силовых линий. Это позволяет считать скалярный потенциал постоянным по сечению, а поле в промежутках между якорем и сердечником — однородным; поле же в ферромагнетике можно учесть, введя магнитное сопротивление R_m сердечника и якоря.

Энергия магнитного поля в системе определяется по формуле [12]

$$W = \frac{1}{2} \left[R_m(\Phi_1^2 + \Phi_2^2) + \frac{2(d+x)}{\mu_0 S} \Phi_1^2 + \frac{2(d-x)}{\mu_0 S} \Phi_2^2 \right], \quad (1)$$

где Φ — магнитный поток в ферромагнетике; S — площадь зазора; μ_0 — магнитная проницаемость воздуха; d — зазор между якорями и сердечниками в невозбужденной системе; x — перемещение верхнего якоря, направленное в сторону увеличения зазора. Выражение (1) составлено в предположении, что магнитный поток через любое сечение магнитопровода и промежутки между сердечниками и якорями один и тот же. Величины R_m считаются постоянными, т.е. не учитывается гистерезис и насыщение ферромагнетика.

Обобщенными импульсами в системе являются не потоки Φ_1 и Φ_2 , а потокосцепления $n\Phi_1$ и $n\Phi_2$, где n — число витков в обмотках электромагнитов. Поэтому первая группа уравнений Лагранжа–Максвелла для рассматриваемой системы будет иметь вид

$$n\dot{\Phi}_k + R i_k = u(t), \quad k = 1, 2, \quad (2)$$

где R — активное сопротивление обмотки электромагнита; i_k — ток в обмотке; $u(t) = U_0 \sin(2\pi \Omega t)$ — напряжение, подаваемое на обмотку; Ω — частота сети, Гц.

Связь между потоками и токами можно представить в виде [7]

$$\begin{cases} n i_1 + n_3 i_3 = \left[R_m + \frac{2d}{\mu_0 S} \left(1 + \frac{x}{d} \right) \right] \Phi_1; \\ n i_2 - n_3 i_3 = \left[R_m + \frac{2d}{\mu_0 S} \left(1 - \frac{x}{d} \right) \right] \Phi_2, \end{cases} \quad (3)$$

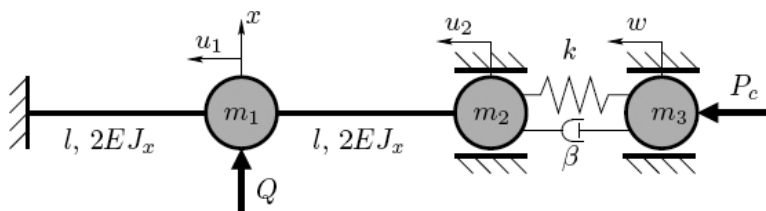


Рис. 3. Расчетная схема механической составляющей системы

где n_3 — число витков обмоток в цепи подмагничивания; i_3 — ток в цепи подмагничивания. Соотношения (3) — это закон Ома для магнитных цепей электромагнитов, причем параметры в левых частях равны значениям магнитодвижущих сил.

После подстановки соотношений (3) в уравнения (2) получаем

$$\begin{cases} \dot{\Phi}_1 + \left[\frac{R R_M}{n^2} + 2 \frac{R d}{n^2 \mu_0 S} \left(1 + \frac{x}{d} \right) \right] \Phi_1 - R \frac{n_3}{n^2} i_3 = \frac{U_0}{n} \sin(2\pi \Omega t); \\ \dot{\Phi}_2 + \left[\frac{R R_M}{n^2} + 2 \frac{R d}{n^2 \mu_0 S} \left(1 - \frac{x}{d} \right) \right] \Phi_2 + R \frac{n_3}{n^2} i_3 = \frac{U_0}{n} \sin(2\pi \Omega t). \end{cases} \quad (4)$$

Ток i_3 в цепи подмагничивания определяется независимо от динамики системы, поэтому в дальнейшем считается известным.

Используя условие жесткого соединения якорей, расчетную схему механической составляющей системы можно привести к виду, показанному на рис. 3. Полученная система имеет две степени свободы: поперечные x и продольное w перемещения якорей и инструмента. Остальные обозначения на рис. 3 имеют следующий смысл: m_1 , m_2 , m_3 — суммарная масса якорей, масса дополнительного элемента и инструмента соответственно; l , EJ_x — длина и жесткость балки; Q — пондеромоторная сила; P_c — осевая составляющая силы резания.

Продольные перемещения u_1 якорей и дополнительной массы u_2 выражаются через поперечное перемещение x якоря. Для получения этой связи представим форму изогнутой оси балок в виде уравнения $v(t, s) = x(t)f(s)$, где $s \in [0, 1]$ — безразмерная продольная координата сечений балки. Функция $f(s)$ должна удовлетворять следующим граничным условиям:

$$\begin{aligned} s = 0 : \quad v(t, 0) = 0, \quad \left. \frac{\partial v(t, s)}{\partial s} \right|_{s=0} &= 0; \\ s = 1 : \quad v(t, 1) = 1, \quad \left. \frac{\partial v(t, s)}{\partial s} \right|_{s=1} &= 0. \end{aligned}$$

Тогда перемещения $u_1(t)$ и $u_2(t)$ выражаются через поперечное перемещение якоря x следующим образом:

$$u_1(t) = \frac{1}{2l} \int_0^1 \left(\frac{\partial v}{\partial s} \right)^2 ds; \quad u_2(t) = 2u_1(t).$$

Подставляя выражение для $v(t, s)$, получаем

$$u_1 = \frac{x^2}{2l} J_1, \quad u_2 = \frac{x^2}{l} J_1$$

где $J_1 = \int_0^1 \left(\frac{df}{ds} \right)^2 ds \sim 1$.

Кинетическая энергия системы

$$\begin{aligned} T &= \frac{1}{2} [m_1 \dot{x}^2 + m_1 \dot{u}_1^2 + m_2 \dot{u}_2^2 + m_3 \dot{w}^2] = \\ &= \frac{1}{2} \left[m_1 \left(1 + \frac{J_1^2}{l^2} \mu_{21} x^2 \right) \dot{x}^2 + m_3 \dot{w}^2 \right], \end{aligned}$$

где $\mu_{21} = 1 + 4 m_2/m_1$.

Потенциальная энергия системы

$$\Pi = \frac{k(u_2 - w)^2}{2} + 2U_{\text{изг}},$$

где k — жесткость пружины. Потенциальная энергия $U_{\text{изг}}$ упругой деформации балок определяется следующим образом:

$$U_{\text{изг}} = \frac{1}{2} \frac{2 E J_x}{l^3} \int_0^1 \left(\frac{\partial^2 v}{\partial s^2} \right)^2 ds = \frac{E J_x}{l^3} J_2 x^2,$$

где $J_2 = \int_0^1 \left(\frac{d^2 f}{ds^2} \right)^2 ds$. Окончательно потенциальную энергию системы можно записать как

$$\Pi = \frac{2 E J_x J_2}{l^3} x^2 + \frac{k}{2} \left(\frac{J_1}{l} x^2 - w \right)^2.$$

Рассеяние энергии в механической системе учитывается с помощью диссипативной функции Рэлея:

$$\Psi = \frac{\beta_1 \dot{x}^2}{2} + \frac{\beta_2 (\dot{u}_2 - \dot{w})^2}{2} = \frac{\beta_1 \dot{x}^2}{2} + \frac{\beta_2}{2} \left(\frac{2 J_1 x \dot{x}}{l} - \dot{w} \right)^2,$$

где β_1, β_2 — коэффициенты демпфирования. Обобщенные силы вязкого трения определяются по уравнениям:

$$\begin{aligned} Q_{x*} &= -\frac{\partial \Psi}{\partial \dot{x}} = -\beta_1 \dot{x} + 2 \beta_2 \frac{J_1}{l} x \dot{w} - 4 \beta_2 \frac{J_1^2}{l^2} x^2 \dot{x}; \\ Q_{w*} &= -\frac{\partial \Psi}{\partial \dot{w}} = 2 \beta_2 \frac{J_1}{l} x \dot{x} - \beta_2 \dot{w}. \end{aligned}$$

Пондеромоторная сила [7]

$$Q = -\frac{\partial W}{\partial x} = \frac{1}{\mu_0 S} (\Phi_2^2 - \Phi_1^2).$$

После подстановки полученных выражений во вторую группу уравнений Лагранжа–Максвелла получаем

$$\begin{cases} m_1 \left(1 + \frac{J_1^2}{l^2} \mu_{21} x^2 \right) \ddot{x} + \beta_1 \dot{x} + \frac{4 E J_x J_2}{l^3} x + N(x, \dot{x}, w, \dot{w}) = \\ \quad = \frac{\Phi_2^2 - \Phi_1^2}{\mu_0 S}; \\ m_3 \ddot{w} + \beta_2 \dot{w} + k w - \frac{k J_1}{l} x^2 - \frac{2 \beta_2 J_1}{l} x \dot{x} = P_c. \end{cases} \quad (5)$$

Нелинейные слагаемые в первом из уравнений (5) имеют вид

$$\begin{aligned} N(x, \dot{x}, w, \dot{w}) = & \frac{m_1 \mu_{21} J_1^2}{l^2} \dot{x}^2 x - \frac{2 k J_1}{l} w x - \frac{2 \beta_2 J_1}{l} \dot{w} x + \\ & + \frac{4 \beta_2 J_1^2}{l^2} \dot{x} x^2 + \frac{2 k J_1^2}{l^2} x^3. \end{aligned}$$

Уравнения (4) и (5) описывают динамику рассматриваемой электромеханической системы.

Сила резания. Кинематика резания. Для описания осевой силы резания воспользуемся следующим двухконстантным представлением [8]:

$$P_c = \frac{k_{C0} h_0}{q} \bar{\eta}^q,$$

где $k_{C0} = g \sigma_L R q [h_0 / (n_c R)]^{q-1}$ — статическая жесткость резания; g — постоянная формы режущей кромки; σ_L — характерное напряжение обрабатываемого материала; R — радиус сверла; q — параметр нелинейности закона резания, $0 < q \leq 1$; h_0 — номинальная подача на оборот; n_c — число режущих кромок; $\bar{\eta}$ — приведенная толщина снимаемого слоя, определяется мгновенными значениями толщины h_j каждой из снимаемых режущих кромок:

$$\bar{\eta} = \left[\frac{1}{n_c} \sum_{j=1}^{n_c} \left(n_c \frac{h_j}{h_0} \right)^q \right]^{1/q}.$$

При непрерывном резании без вибраций $\bar{\eta} \equiv 1$; сила резания совпадает с «квазистатическим» законом резания.

Рассмотрим обрабатываемую поверхность как сигнал, поступающий под режущую кромку в момент времени t и сформированный предыдущей режущей кромкой в момент времени $t - T/n_c$, где $T = 1/\omega$ — период вращения детали, с; ω — частота вращения детали, Гц. Под j -й режущей кромкой в момент времени t величина этого сигнала равна расстоянию от поверхности торца до поверхности дна под кромкой с номером $J = (j - 2 \bmod n_c) + 1$ в момент времени $t - T/n_c$. Тогда

кинематика процесса резания будет описываться следующей совокупностью уравнений [8]:

$$\begin{cases} D_j(t) = -w(t) - H + vt - L_j(t - T/n_c); \\ h_j(t) = \max [0, D_j(t)]; \\ L_j(t) = L_j(t - T/n_c) + h_j(t); \\ L_j(t) = L_{0j}(t), \quad t \leq 0. \end{cases} \quad (6)$$

Здесь $D_j(t)$ — расстояние между j -й режущей кромкой и дном отверстия; H — расстояние от инструмента до средней поверхности торца детали в начальный момент времени; v — постоянная скорость осевой подачи; $L_j(t - T/n_c)$ — отклонение поверхности торца от плоскости под j -й кромкой; $L_j(t)$ — характеристика обработанной поверхности (глубина отверстия вдоль образующей напротив j -й режущей кромки в текущий момент времени); $L_{0j}(t)$ — начальная характеристика поверхности торца детали. В случае плоского торца, перпендикулярного осевому движению детали, следует предположить $L_{0j}(t) = 0$ при $t \leq 0$. В этом случае все режущие кромки имеют одинаковые геометрические характеристики.

Второе уравнение системы (6) определяет толщину снимаемого слоя. Все уравнения системы (6) описывают процесс образования новых поверхностей в ходе резания, учитывают возможность выхода режущих кромок инструмента из обрабатываемого материала, являются нелинейными и содержат функции с запаздывающим аргументом.

Нормирование уравнений. Для удобства дальнейших вычислений полученные уравнения приводятся к безразмерному виду. В качестве масштаба времени берется время T одного оборота детали, масштаба длины — номинальная подача на оборот $h_0 = vT$, а для масштаба магнитных потоков вводится обозначение Φ_* :

$$\tau = \frac{t}{T}; \quad \{\phi_1, \phi_2\} = \frac{1}{\Phi_*} \{\Phi_1, \Phi_2\}; \quad \{\xi, \zeta, \delta\} = \frac{1}{h_0} \{x, w, d\}.$$

Уравнения динамики системы (4) и (5) в безразмерном виде принимают вид:

$$\begin{cases} \phi_1' + \mu \left\{ \left[\rho_m + \rho \left(1 + \frac{\xi}{\delta} \right) \right] \phi_1 - i_* \right\} = u \sin(2\pi \nu \tau); \\ \phi_2' + \mu \left\{ \left[\rho_m + \rho \left(1 - \frac{\xi}{\delta} \right) \right] \phi_2 + i_* \right\} = u \sin(2\pi \nu \tau); \\ (1 + \varepsilon^2 \mu_{21} \xi^2) \xi'' + 4\pi \alpha_1 p_1 \xi' + 4\pi^2 p_1^2 \xi + \tilde{N}_1(\xi, \xi', \zeta, \zeta') = \\ = \phi_2^2 - \phi_1^2; \\ \zeta'' + 4\pi \alpha_2 p_2 \zeta' + 4\pi^2 p_2^2 \zeta + \tilde{N}_2(\xi, \xi', \zeta, \zeta') = 4\pi^2 p_2^2 \frac{\varkappa \bar{\eta}^q}{q}. \end{cases} \quad (7)$$

Здесь штрих обозначает дифференцирование по новому времени τ и введены следующие безразмерные параметры электромагнитной составляющей системы:

$$\begin{aligned} \mu \rho_M &= \frac{R R_M T}{n^2}, & \mu \rho &= \frac{R}{n^2} \frac{2 d T}{\mu_0 S}, & \mu i_* &= \frac{R}{n^2} \frac{n_3 i_3 T}{\Phi_*}, \\ u &= \frac{U_0 T}{n \Phi_*}, & \nu &= \Omega T. \end{aligned}$$

Параметр μ характеризует отношение активного сопротивления электромагнита к индуктивному, обычно $\mu \ll 1$ [7].

Безразмерные параметры механической составляющей системы можно представить как:

$$\begin{aligned} \varepsilon &= J_1 \frac{h_0}{l}, & p_1 &= \frac{T}{2\pi} \sqrt{\frac{4 J_2 E J_x}{m_1 l^3}}, & p_2 &= \frac{T}{2\pi} \sqrt{\frac{k}{m_3}}, \\ \alpha_1 &= \frac{\beta_1}{2\sqrt{m_1 \frac{4 J_2 E J_x}{l^3}}}, & \alpha_2 &= \frac{\beta_2}{2\sqrt{k m_3}}, & \varkappa &= \frac{k C_0}{k h_0}. \end{aligned}$$

Смысл параметров p_1 и p_2 — число свободных колебаний соответственно якоря и инструмента за один оборот детали.

Нелинейные слагаемые в последних двух уравнениях системы (7) имеют вид

$$\begin{aligned} \tilde{N}_1(\xi, \xi', \zeta, \zeta') &= -\varepsilon (8\pi^2 \mu_{31} p_2^2 \zeta \xi + 8\pi \mu_{31} \alpha_2 p_2 \zeta' \xi) + \\ &+ \varepsilon^2 (\mu_{21} \xi \xi'^2 + 16\pi \mu_{31} \alpha_2 p_2 \xi^2 \xi' + 8\pi^2 \mu_{31} p_2^2 \xi^3), \\ \tilde{N}_2(\xi, \xi', \zeta, \zeta') &= -\varepsilon (4\pi^2 p_2^2 \xi^2 + 8\pi \alpha_2 p_2 \xi \xi'). \end{aligned}$$

Здесь $\mu_{31} = m_3/m_1$. Также добавлено уравнение для определения масштаба магнитных потоков:

$$\frac{T^2 \Phi_*^2}{m_1 h_0 \mu_0 S} = 1.$$

Запишем безразмерные характеристики обрабатываемой поверхности как:

$$\{\Delta_j, \Lambda_j, \eta_j, H\} = \frac{1}{h_0} \{D_j, L_j, h_j, H\}.$$

Соответственно, уравнения образования новых поверхностей в процессе резания можно представить в безразмерном виде:

$$\begin{cases} \Delta_j(\tau) = -\zeta(\tau) - H + \tau - \Lambda_j(\tau - 1/n_c); \\ \eta_j(\tau) = \max[0, \Delta_j(\tau)]; \\ \Lambda_j(\tau) = \Lambda_j(\tau - 1/n_c) + \eta_j(\tau); \\ \Lambda_j(\tau) = \Lambda_{j_0}(\tau), \quad \tau \leq 0; \quad J = (j - 2 \bmod n_c) + 1. \end{cases} \quad (8)$$

Полученные уравнения электромеханических колебаний (7) и образования новой поверхности в процессе резания (8) являются нелинейными. Источниками нелинейности в системе служат:

- пондеромоторные силы;
- связь продольных перемещений якорей и дополнительной массы с поперечными перемещениями якорей;
- зависимость толщины срезаемого слоя от перемещений инструмента (прерывистость резания);
- нелинейность закона резания.

Аналитическое решение. Система дифференциальных уравнений (7) естественно содержит малый параметр $\varepsilon = J_1 h_0/l \sim \sim (1 \dots 10)10^{-4}$. Поэтому в случае, когда сила резания равна нулю, можно получить приближенное аналитическое решение одним из асимптотических методов. Воспользуемся *методом многомасштабных разложений*. Этот метод позволяет получить равномерно пригодное решение, которое можно использовать для любых моментов времени $\tau > 0$.

Введем новые временные переменные [9]:

$$t_0 = \tau, \quad t_1 = \varepsilon \tau, \quad t_2 = \varepsilon^2 \tau, \quad \dots, \quad t_j = \varepsilon^j \tau,$$

где t_0 – основное, “быстрое” время; t_j при $j > 0$ – “медленное” время. Величины t_j представляют собой различные масштабы времени. Производные по времени τ преобразуются следующим образом:

$$\begin{aligned} \frac{d}{d\tau} &= \partial_0 + \varepsilon \partial_1 + \varepsilon^2 \partial_2 + \dots; \\ \frac{d^2}{d\tau^2} &= \partial_0^2 + 2\varepsilon \partial_0 \partial_1 + \varepsilon^2 (\partial_1^2 + 2\partial_0 \partial_2) + \dots, \end{aligned}$$

где $\partial_j = \partial/\partial t_j$. Решения уравнений (7) будем искать в виде рядов по ε :

$$g = g(t_0, t_1, \dots, \varepsilon) = \sum_{j=0}^{\infty} \varepsilon^j g_j,$$

где $g = \{\phi_1, \phi_2, \xi, \zeta\}$. Подставляя ряды в уравнения (7) и собирая слагаемые при соответствующих степенях ε , получаем систему рекуррентных уравнений для определения составляющих искомым функций¹. Система для определения функций с индексом “0” называется *порождающей* и в рассматриваемом случае имеет вид

$$\begin{cases} \partial_0 \phi_{10} = u \sin(2\pi \nu t_0); \\ \partial_0 \phi_{20} = u \sin(2\pi \nu t_0); \\ \partial_0^2 \xi_0 + 4\pi \alpha_1 p_1 \xi'_0 + 4\pi^2 p_1^2 \xi_0 = \phi_{20}^2 - \phi_{10}^2; \\ \partial_0^2 \zeta_0 + 4\pi \alpha_2 p_2 \zeta'_0 + 4\pi^2 p_2^2 \zeta_0 = 0. \end{cases}$$

¹Для дальнейших выкладок заменим $\mu = \varepsilon \sigma$, где $\sigma > 0$.

Решение этой системы (для перемещений используем только частные решения дифференциальных уравнений) можно представить следующим образом:

$$\begin{aligned}\phi_{10} &= A_1 - \frac{u}{2\pi\nu} \cos(2\pi\nu t_0); \\ \phi_{20} &= A_2 - \frac{u}{2\pi\nu} \cos(2\pi\nu t_0); \\ \xi_0 &= -k_0\delta(A_1^2 - A_2^2) + \frac{uk_1\delta}{\pi\nu}(A_1 - A_2) \cos(2\pi\nu t_0 + \psi_1); \\ \zeta_0 &= 0,\end{aligned}$$

где

$$\begin{aligned}k_0 &= \frac{1}{4\pi^2 p_1^2 \delta}; \\ k_1 &= \frac{1}{4\pi^2 p_1^2 \delta} \left\{ \sqrt{\left(\left(\frac{\nu}{p_1} \right)^2 - 1 \right)^2 + 4\alpha_1^2 \left(\frac{\nu}{p_1} \right)^2} \right\}^{-1}; \\ \psi_1 &= \text{arctg} \left(\frac{2\alpha_1 \nu p_1}{\nu^2 - p_1^2} \right).\end{aligned} \quad (9)$$

Величины A_1, A_2 являются неизвестными функциями медленных масштабов времени. Для их определения используем уравнения для потоков, образованные коэффициентами при ε в первой степени,

$$\begin{cases} \partial_0 \phi_{11} = -\partial_1 \phi_{10} - \sigma \left\{ \left[\rho_M + \rho \left(1 + \frac{\xi_0}{\delta} \right) \right] \phi_{10} - i_* \right\}; \\ \partial_0 \phi_{21} = -\partial_1 \phi_{20} - \sigma \left\{ \left[\rho_M + \rho \left(1 - \frac{\xi_0}{\delta} \right) \right] \phi_{20} + i_* \right\}. \end{cases} \quad (10)$$

Для обеспечения равномерной пригодности решений необходимо и достаточно, чтобы правые части уравнений (10) не содержали секулярных слагаемых, т.е. слагаемых, которые приведут к появлению частных решений, неограниченно возрастающих с увеличением времени. Секулярных слагаемых не будет, если в разложения правых частей уравнений (10) в ряд Фурье не войдут постоянные составляющие:

$$\nu \int_0^{1/\nu} H_1 dt_0 = 0; \quad \nu \int_0^{1/\nu} H_2 dt_0 = 0. \quad (11)$$

Здесь H_1, H_2 — обозначения для правых частей уравнений (10). Подставляя в условия (11) выражения для H_j и учитывая, что

$$\partial_1 \phi_{10} = \partial_1 A_1, \quad \partial_1 \phi_{20} = \partial_1 A_2,$$

получаем систему уравнений для определения неизвестных функций A_j . Эти уравнения называются *уравнениями установления* и имеют

вид

$$\begin{cases} \partial_1 A_1 = P_1(A_1, A_2) = \sigma \{ A_1 [a - b(A_1^2 - A_2^2)] - c(A_1 - A_2) - e \}; \\ \partial_1 A_2 = P_2(A_1, A_2) = \sigma \{ A_2 [a + b(A_1^2 - A_2^2)] + c(A_1 - A_2) + e \}. \end{cases} \quad (12)$$

Здесь введены следующие обозначения:

$$\begin{aligned} e &= \nu \int_0^{1/\nu} i_* dt_0, & a &= \rho_m + \rho, \\ b &= k_0 \rho, & c &= \frac{u^2 \rho}{4\pi^2 \nu^2} k_1 \cos \psi_1. \end{aligned}$$

Параметр e — это среднее за период возбуждения значение тока в цепи подмагничивания.

Стационарные движения в системе определяем, положив $\partial_1 A_1 = \partial_1 A_2 = 0$:

$$\begin{cases} A_1 [a - b(A_1^2 - A_2^2)] - c(A_1 - A_2) - e = 0; \\ A_2 [a + b(A_1^2 - A_2^2)] + c(A_1 - A_2) + e = 0. \end{cases} \quad (13)$$

Система нелинейных алгебраических уравнений (13) допускает решение вида $A_2 = -A_1$, называемое симметричным [7]. Это решение будет

$$A_1 = \frac{e}{a - 2c}.$$

Сложив уравнения (13) и затем сократив на $A_1 + A_2$, что для несимметричных решений допустимо, получаем

$$a - b(A_1 - A_2)^2 = 0. \quad (14)$$

С помощью уравнения (14) можно найти несимметричные решения в явном виде:

$$\begin{aligned} A_1 &= \frac{1}{2} \left[-\sqrt{\frac{a}{b}} \pm \sqrt{\frac{a-2c}{b} + 2\frac{e}{\sqrt{ab}}} \right]; \\ A_2 &= \frac{1}{2} \left[\sqrt{\frac{a}{b}} \pm \sqrt{\frac{a-2c}{b} + 2\frac{e}{\sqrt{ab}}} \right]; \\ A_1 &= \frac{1}{2} \left[\sqrt{\frac{a}{b}} \pm \sqrt{\frac{a-2c}{b} - 2\frac{e}{\sqrt{ab}}} \right]; \\ A_2 &= \frac{1}{2} \left[-\sqrt{\frac{a}{b}} \pm \sqrt{\frac{a-2c}{b} - 2\frac{e}{\sqrt{ab}}} \right]. \end{aligned}$$

Устойчивость решения можно определить по собственным числам матрицы Якоби системы (12)

$$\mathbf{J} = \begin{pmatrix} \frac{\partial P_1}{\partial A_1} & \frac{\partial P_1}{\partial A_2} \\ \frac{\partial P_2}{\partial A_1} & \frac{\partial P_2}{\partial A_2} \end{pmatrix} = \sigma \begin{pmatrix} a - c - b(3A_1^2 - A_2^2) & c + 2b A_1 A_2 \\ c + 2b A_1 A_2 & a - c + b(A_1^2 - 3A_2^2) \end{pmatrix}. \quad (15)$$

Решение будет устойчиво, если корни характеристического уравнения

$$\lambda^2 + s_1 \lambda + s_2 = 0 \quad (16)$$

матрицы (15) будут иметь отрицательные действительные части. Здесь коэффициенты s_1, s_2 имеют вид

$$\begin{aligned} s_1 &= 2\sigma(b(A_1^2 + A_2^2) + c - a), \\ s_2 &= \sigma^2 \left(a^2 - b(A_1 - A_2)^2 (-2c + 3b(A_1 + A_2)^2) - \right. \\ &\quad \left. - 2a(c + b(A_1^2 + A_2^2)) \right). \end{aligned}$$

Чтобы действительные части корней характеристического уравнения (16) были отрицательными, необходимо и достаточно, чтобы были положительными его коэффициенты:

$$s_1 > 0, \quad s_2 > 0.$$

Для несимметричных решений, используя уравнение (14), из условия для s_2 получаем невыполняемое неравенство

$$b^2 \sigma^2 (A_1^2 - A_2^2)^2 < 0.$$

Отсюда делаем вывод, что несимметричные решения неустойчивы.

Для симметричного решения условия устойчивости решения имеют вид

$$\begin{aligned} (a - 2c)^2 (c - a) + 2be^2 &> 0; \\ a(a - 2c)^2 - \frac{4be^2}{a - 2c} &> 0. \end{aligned}$$

В симметричном режиме первые гармоники сил, действующих на якорь со стороны обоих электромагнитов, складываются, остальные — уничтожаются, поэтому

$$\xi_0 = \left| \frac{u k_1 \delta}{\pi \nu} \frac{2e}{a - 2c} \right| \cos(2\pi \nu t_0 + \psi_\xi),$$

т.е. колебания гармонические. Возвращаясь к исходным безразмерным параметрам, получаем

$$\xi_0 = |A_\xi| \cos(2\pi \nu t_0 + \psi_\xi),$$

где

$$A_{\xi} = \frac{e u}{2 \pi^2 \rho p_1^3 \nu \left[\left(\frac{\rho_M}{\rho} + 1 \right) \sqrt{\left(\left(\frac{\nu}{p_1} \right)^2 - 1 \right)^2 + 4 \alpha_1^2 \left(\frac{\nu}{p_1} \right)^2 - \frac{u^2 \cos \psi_1}{8 \pi^4 \nu^2 p_1^2 \delta}} \right]}$$

$$\psi_{\xi} = \psi_1 + \psi_u.$$

Угол ψ_u равен нулю, если знаменатель выражения для амплитуды больше нуля, и равен π — в противном случае.

Как видно, амплитуда колебаний якорей A_{ξ} линейно зависит от среднего за период возбуждения значения тока в цепи подмагничивания e и нелинейно зависит от амплитуды подаваемого напряжения u . Причем, существуют такие пары значений параметров $\{\nu, u\}$, которые обращают в нуль знаменатель выражения для амплитуды перемещений якоря. При этих значениях параметров в системе будут колебания, сопровождающиеся соударениями якорей и сердечников электромагнита, что подтверждается экспериментально [7].

Используя полученное решение для перемещения якоря, получаем дифференциальное уравнение для определения первого приближения перемещений инструмента:

$$\zeta_1'' + 4 \pi \alpha_2 p_2 \zeta_1' + 4 \pi^2 p_2^2 \zeta_1 = 2 \pi^2 p_2^2 A_{\xi}^2 \left[1 + \cos(2 \hat{T}) - 4 \alpha_2 \frac{\nu}{p_2} \sin(2 \hat{T}) \right], \quad (17)$$

где $\hat{T} = 2 \pi \nu t_0 + \psi_{\xi}$. Частное решение уравнения (17) имеет вид

$$\zeta_1 = \frac{A_{\xi}^2}{2} [1 + k \cos(4 \pi \nu t_0 + 2 \psi_{\xi} + \psi_{\zeta})],$$

где

$$k = \frac{\sqrt{1 + 4 \alpha_2^2 \left(\frac{2 \nu}{p_2} \right)^2}}{\sqrt{\left[\left(\frac{2 \nu}{p_2} \right)^2 - 1 \right]^2 + 4 \alpha_2^2 \left(\frac{2 \nu}{p_2} \right)^2}};$$

$$\psi_{\zeta} = \operatorname{arctg} \frac{2 \alpha_2 \left(\frac{2 \nu}{p_2} \right)}{\left(\frac{2 \nu}{p_2} \right)^2 (1 - 4 \alpha_2^2) - 1}.$$

На рис. 4 приведены амплитудно-частотные характеристики (АЧХ) перемещений якоря и инструмента (сплошные линии) для системы с

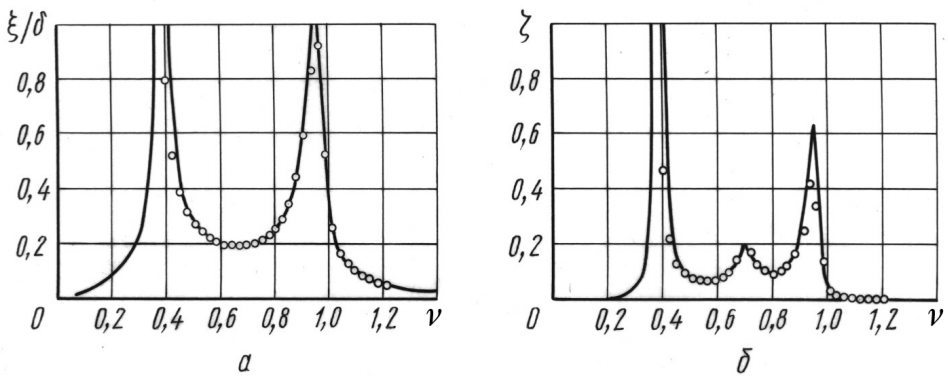


Рис. 4. Амплитудно-частотные характеристики:

a — якоря; *б* — инструмента; сплошные линии — аналитическое решение, точки — результаты численного интегрирования

параметрами²:

$$\begin{array}{cccc}
 u = 80, & e = 5, & \rho = 2,8, & \delta = 50, \\
 p_1 = 1, & p_2 = 1,4, & \alpha_1 = 0,05, & \alpha_2 = 0,05.
 \end{array}$$

Нелинейность системы дифференциальных уравнений не привела к качественному изменению АЧХ по сравнению с АЧХ линейной системы. На АЧХ для перемещения инструмента еще один локальный максимум расположен вблизи значения частоты возбуждения ν , равного половине частоты собственных колебаний инструмента p_2 . Для сравнения на том же рисунке приведены значения амплитуд перемещений, полученные в результате численного интегрирования исходных уравнений (7) при $P_c \equiv 0$ (амплитуды определялись как полуразмах установившихся вынужденных колебаний).

По результатам проведенного анализа динамики системы без резания можно сделать следующие выводы:

- уравнения для потоков допускают несколько стационарных решений: симметричное и несимметричные. Несимметричные решения либо не существуют, либо неустойчивы. Для симметричного решения получены условия устойчивости;
- для возбуждения в системе колебаний необходимо, чтобы среднее за период возбуждения значение тока e в цепи подмагничивания было отлично от нуля;
- колебания якорей происходят на частоте возбуждения, а колебания инструмента — на удвоенной частоте возбуждения;
- амплитуда колебаний якорей линейно зависит от среднего значения тока e в цепи подмагничивания и нелинейно — от амплитуды подаваемого напряжения u ;

²При вычислении угла ψ_1 по формуле (9) необходимо контролировать непрерывность функции \arctg .

- амплитуду колебаний якорей и инструмента можно увеличивать (уменьшать) в процессе работы, изменяя амплитуду подаваемого напряжения u и среднее значение тока e в цепи подмагничивания.

Численное моделирование системы в процессе резания. Для исследования динамики рассматриваемой технологической системы наиболее адекватным методом является использование отображения Пуанкаре в виде последовательности экстремумов перемещений якоря и инструмента или толщины слоя, снимаемого одной из режущих кромок (или приведенной толщины снимаемого слоя) — $Extr[\xi]$, $Extr[\zeta]$, $Extr[\eta]$. При этом на диаграмме для каждого значения параметра показываются все экстремумы функции, попавшие в интервал наблюдения.

На рис. 5, а показана диаграмма отображения Пуанкаре приведенной толщины снимаемого слоя для системы, в которой отсутствует ток в цепи подмагничивания, т.е. возбуждений колебаний инструмента нет. Изменяемым параметром для построения диаграммы является безразмерная величина p_2 — число свободных колебаний инструмента за один оборот детали. На диаграмме видны зоны значений изменяемого параметра, в которых имеет место прерывистое резание с регулярной стружкой (авторезонансное вибрационное сверление [8]). В этих зонах происходит потеря устойчивости процессом резания с постоянной толщиной снимаемого слоя [8].

На рис. 5, б приведена диаграмма Пуанкаре (для системы с тем же набором безразмерных параметров) при вынужденных колебаниях инструмента, возбуждаемых вибропитателем. Безразмерная частота подаваемого напряжения $\nu = \Omega T = 1, 1$. В результате дополнительного возбуждения колебаний инструмента в ранее полученных зонах прерывистого резания изменяется поведение системы в процессе резания — стружка становится нерегулярной; а вблизи значения параметра $p_2 = 2, 2$, равного удвоенному значению частоты возбуждения,

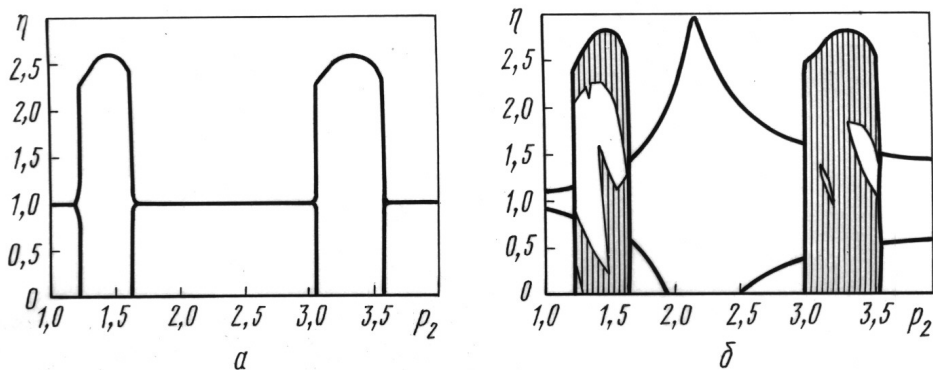


Рис. 5. Отображение Пуанкаре приведенной толщины снимаемого слоя для системы без возбуждения (а) и с возбуждением (б) вибраций инструмента; изменяемый параметр p_2

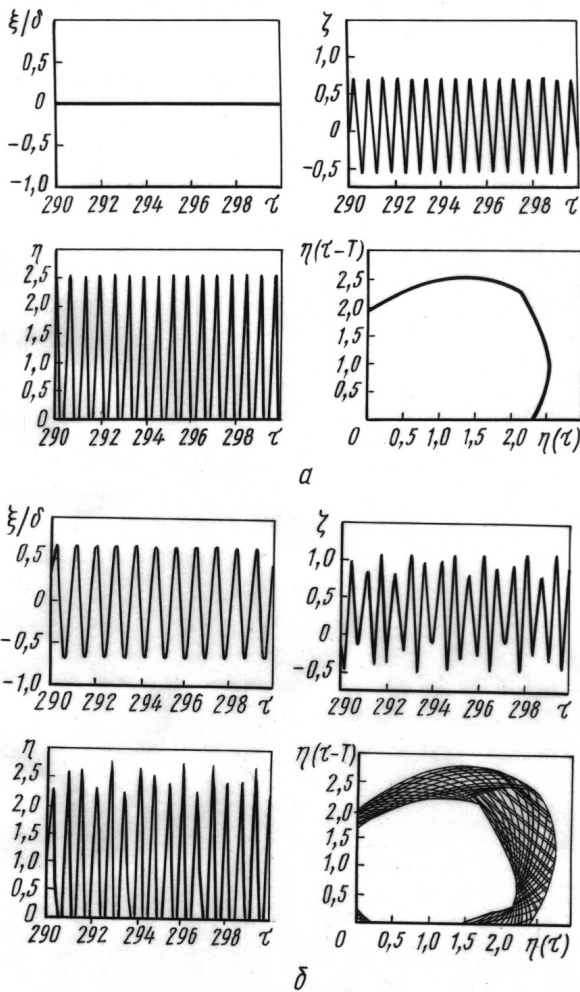


Рис. 6. Численное моделирование системы в процессе резания ($p_2 = 1,5$):
a — без возбуждения вибраций инструмента; *б* — с возбуждением вибраций инструмента

на диаграмме появляется еще одна зона с прерывистым резанием и регулярной стружкой — зона синхронизации.

На рис. 6 приведены решения для обеих систем при значении параметра $p_2 = 1,5$. Показаны зависимости перемещений якорей и инструмента и приведенной толщины срезаемого слоя от времени, и построен аналог фазового портрета для толщины срезаемого слоя: по оси абсцисс откладывается текущее значение $\eta(\tau)$, а по оси ординат — значение в некоторый предыдущий момент времени $\eta(\tau - T')$. В данном случае, для T' взято время запаздывания $T' = 1/n_c$. По такому портрету можно судить о стационарности и регулярности значения толщины снимаемого слоя в процессе резания.

На рис. 7 приведены зоны регулярного прерывистого резания на плоскости двух параметров системы: p_2 — число свободных колебаний

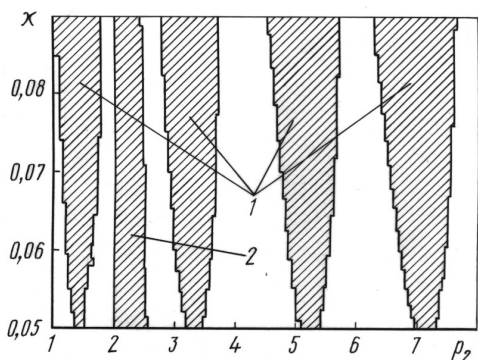


Рис. 7. Зоны регулярного прерывистого резания на плоскости параметров $\{\rho_2, \chi\}$

При этом вибровозбудитель выключен. Точки, находящиеся в зоне 2, соответствуют значениям параметров, при которых для получения прерывистого резания с регулярной стружкой необходимо включать вибровозбудитель (зоны синхронизации).

Работа поддерживается грантами РФФИ № 05-01-08062, 07-08-00592-а и 07-08-00253-а.

СПИСОК ЛИТЕРАТУРЫ

1. Altintas Y., Weck M. Chatter stability of metal cutting and grinding // CIRP Annals – Manufacturing Technology, 53 (2004), pp. 619–642.
2. Гуськов А. М. Динамика двух резцового точения // Станки и инструменты. – 2004. – № 11, 12.
3. Gousskov A. M., Voronov S. A., Paris H., Batzer S. A. Nonlinear dynamics of a machining system with two interdependent delays // Communications in Nonlinear Science and Numerical Simulation. December 2002. Vol. 7. No. 3, pp. 207–221.
4. Tseng C. Y., Tung P. C. Dynamics of a flexible beam with active nonlinear magnetic force // ASME Journal of vibration and acoustics. January 1998. Vol. 120. No. 1, pp. 39–46.
5. Tariq A. Nayfeh, Edward E. Masri, Alexander F. Vakakis. Application of nonlinear localization to the optimization of a vibration isolation system // AIAA Journal. August 1997. Vol. 35. No. 8, pp. 1378–1386.
6. Вибрации в технике: Справочник. В 6 т. / Ред. совет: В. Н. Челомей (пред.). — М.: Машиностроение, 1979 — Т.2. Колебания нелинейных механических систем / Под. ред. И. И. Блехмана. 1979. — 351 с.
7. Скубов Д. Ю., Ходжаев К. Ш. Нелинейная электромеханика. — М.: Физматлит, 2003. — 360 с.
8. Гуськов А. М. Нелинейная динамика вибрационного сверления. Роль уравнений образования новых поверхностей // 4-й Международный конгресс “Конструкторско-технологическая информатика”. — МГТУ-Станкин, 2000. — С. 123–130.
9. Найфэ А. Введение в методы возмущений. — М.: Мир, 1984. — 536 с.

Статья поступила в редакцию 15.06.2007